

# KORRIGENDA

12.03.2023

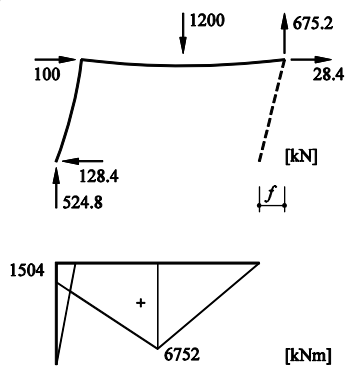
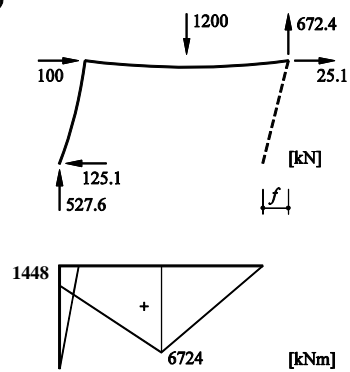
Peter Marti

## BAUSTATIK

### GRUNDLAGEN, STABTRAGWERKE, FLÄCHENTRAGWERKE

2. Auflage 2014 Ernst & Sohn GmbH & Co. KG.

| Seite | Ort           | Abstand in cm vom unteren Seitenrand | Falsch  | Richtig   |
|-------|---------------|--------------------------------------|---|---|
| 72    | (6.11)        | 4.6                                  | $\begin{Bmatrix} \varepsilon_n \\ \varepsilon_t \\ \frac{1}{2}\gamma_{tn} \end{Bmatrix} = \begin{bmatrix} \cos^2\varphi & \sin^2\varphi & \sin\varphi\cos\varphi \\ \sin^2\varphi & \cos^2\varphi & -\sin\varphi\cos\varphi \\ -\sin\varphi\cos\varphi & \sin\varphi\cos\varphi & \cos^2\varphi - \sin^2\varphi \end{bmatrix} \begin{Bmatrix} \varepsilon_x \\ \varepsilon_y \\ \frac{1}{2}\gamma_{xy} \end{Bmatrix}$ | $\begin{Bmatrix} \varepsilon_n \\ \varepsilon_t \\ \frac{1}{2}\gamma_{tn} \end{Bmatrix} = \begin{bmatrix} \cos^2\varphi & \sin^2\varphi & 2\sin\varphi\cos\varphi \\ \sin^2\varphi & \cos^2\varphi & -2\sin\varphi\cos\varphi \\ -\sin\varphi\cos\varphi & \sin\varphi\cos\varphi & \cos^2\varphi - \sin^2\varphi \end{bmatrix} \begin{Bmatrix} \varepsilon_x \\ \varepsilon_y \\ \frac{1}{2}\gamma_{xy} \end{Bmatrix}$ |
| 116   | (8.53)        | 23.9                                 | $\sigma_{ij} = 2\mu\varepsilon_{ij} + \lambda\varepsilon_{ij}\varepsilon_{kk}$  | $\sigma_{ij} = 2\mu\varepsilon_{ij} + \lambda\delta_{ij}\varepsilon_{kk}$   |
| 197   | Formel        | 9.8                                  | $\int \frac{S^2}{b^2 I_y^2} dA = \int_{-h/2}^{h/2} \frac{b^2(h^2/4 - z^2)^2}{b^2(bh^3/12)^2} b dz = \frac{6}{5bh}$  | $\int \frac{S^2}{b^2 I_y^2} dA = \int_{-h/2}^{h/2} \frac{b^2(h^2/4 - z^2)^2}{4b^2(bh^3/12)^2} b dz = \frac{6}{5bh}$   |
| 207   | Bsp. 13.10    | 7.2                                  | $\frac{\partial u}{\partial x} = (1.186 \text{ m} - 2.4 \text{ m})\vartheta = -1.214 \text{ m} \cdot \vartheta$   | $\frac{\partial u}{\partial z} = (1.186 \text{ m} - 2.4 \text{ m})\vartheta = -1.214 \text{ m} \cdot \vartheta$   |
| 213   | Bild 13.34(c) | 24.1                                 | $\tau_{xs} \cdot t(s) ds$   | $\tau_{xs} \cdot t(s) dx$   |
| 214   | Formel        | 16.5                                 | $\tau_{xs} \cdot t(s) ds + \int_0^s d\sigma_x t ds = 0$   | $\tau_{xs} \cdot t(s) dx + \int_0^s d\sigma_x t ds = 0$   |
| 336   | (18.61)       | 9.7                                  | $w = \frac{q_l l^2}{GA_y} \left\{ \kappa \frac{x}{l} - \frac{x^3}{3l^3} + \frac{2 \cosh(\lambda x) + \kappa \lambda \sinh[\lambda(l-x)] - 2 - \kappa \lambda \sinh(\lambda l)}{(\lambda l)^2 \cosh(\lambda l)} \right\}$  | $w = \frac{q_l l^2}{2GA_y} \left\{ \kappa \frac{x}{l} - \frac{x^3}{3l^3} + \frac{2 \cosh(\lambda x) + \kappa \lambda \sinh[\lambda(l-x)] - 2 - \kappa \lambda \sinh(\lambda l)}{(\lambda l)^2 \cosh(\lambda l)} \right\}$   |
| 369   | Formel        | 24.5                                 | $c_1 = \frac{\frac{Ql}{4} - g \frac{\Delta H}{H} \left( \frac{l^2}{8} - \frac{1}{\lambda^2} \right)}{2(H + \Delta H)}$  | $c_1 = \frac{\frac{Ql}{4} - g \frac{\Delta H}{H} \left( \frac{l^2}{8} - \frac{1}{\lambda^2} \right)}{H + \Delta H}$   |
| 369   | Bsp. 18.29    | 19.1                                 | $\lambda = 0.1668 \text{ m}^{-1}$   | $\lambda = 0.1896 \text{ m}^{-1}$   |
| 461   | Bsp. 22.9     | 12.6 ff                              | $f_1 = \dots = 325 \text{ mm}$<br>und folgende Berechnungen   | $f_1 = \dots = 289 \text{ mm}$<br>Die folgenden Berechnungen sind anzupassen.   |

|     |                           |             |   |   |
|-----|---------------------------|-------------|---|---|
| 462 | Bsp. 22.9<br>Bild 22.9(d) | 16.0 - 21.7 | <p><b>(d)</b></p>  | <p><b>(d)</b></p>  |
|-----|---------------------------|-------------|---|---|